

# Нелинейные волны в цепочке плоскопараллельных доменных границ в ферромагнетике

© М.А. Шамсутдинов, С.Э. Рахимов, А.Т. Харисов

Башкирский государственный университет,  
450074 Уфа, Россия

E-mail: KharisovAT@ic.bashedu.ru

(Поступила в Редакцию в окончательном виде 29 сентября 2000 г.)

При учете нелинейности в силе взаимодействия плоских доменных границ, составляющих цепочку, получены одно- и двухпараметрические солитоны — уединенные волны деформации сдвига цепочки доменных границ.

В полосовой доменной структуре наряду с объемными спиновыми волнами существуют локализованные в доменной границе (ДГ) возбуждения, соответствующие связанным колебаниям ДГ [1]. Цепочка плоскопараллельных ДГ может проявлять волновые свойства [2–5], аналогичные волновым свойствам атомных кристаллических решеток. Роль упругих сил играют дальнедействующие силы магнитоэлектростатического взаимодействия между доменами. В цепочке плоскопараллельных ДГ возможно распространение деформационных волн, соответствующих как изгибу, так и сдвигу ДГ. Дисперсионные характеристики деформационных волн сдвига ДГ в плоскопараллельной доменной структуре аналогичны характеристикам волн в одномерной цепочке масс [6]. При этом могут иметь место линейные волны, соответствующие как акустической, так и оптической ветвям колебаний ДГ [4]. Вынужденные нелинейные колебания в цепочке плоскопараллельных ДГ имеют множество особенностей [7]. В такой цепочке возможно существование нелинейных волн деформаций сдвига ДГ, соответствующих как акустической, так и оптической ветвям возмущений.

В настоящей работе рассматривается задача о нелинейных волнах деформаций сдвига доменных стенок, соответствующих акустической моде, в ферромагнитной пластине с плоскопараллельной доменной структурой и перпендикулярной к плоскости пластины одноосной анизотропией. Когда ширина домена  $D$  много больше толщины ДГ, пользуясь методикой расчета магнитоэлектростатической энергии в пластине с плоскопараллельной доменной структурой [8], можно получить следующее выражение для энергии взаимодействия ДГ [7]:

$$W = \sum_n w_n,$$

$$w_n = \frac{2\pi M_0^2}{D^2} Q_n^2 + \frac{16M_0^2 D}{\pi^2 h} \times \sum_{p=1}^{\infty} \frac{1}{p^3} \left[ 1 - \exp\left(-\frac{\pi h}{D} p\right) \right] \sin^2 \left[ \frac{\pi p}{2} \left( 1 + \frac{Q_n}{D} \right) \right],$$

$$Q_n = j_{n+1} - j_n, \quad (1)$$

где  $h$  — толщина пластины,  $M_0$  — нормальная к плоскости пластины компонента намагниченности,  $j_n$  — сме-

щение  $n$ -й ДГ из положения равновесия. При получении (1) пренебрегалось взаимодействием ДГ с дальними соседями, что оправдано при рассмотрении волн, соответствующих акустической моде с малыми волновыми векторами. Кинетическая энергия системы определяется выражением

$$T = \frac{1}{2} \sum_n \frac{m_w}{D} \left( \frac{d}{dt} j_n \right)^2,$$

где

$$m_w = \frac{1}{2\pi\gamma^2\Delta_0} \quad —$$

масса ДГ, приходящаяся на единицу площади [9],  $\gamma$  — гиромагнитное отношение,  $\Delta_0 = \sqrt{A/K_u}$ ,  $A$  — константа неоднородного обменного взаимодействия,  $K_u$  — константа одноосной анизотропии. Вводя новую переменную  $q = \pi j/D$ , получим следующее уравнение движения:

$$\frac{d^2}{dt^2} q_n = \omega_0^2 \left[ f(q_{n+1} - q_n) - f(q_n - q_{n-1}) \right], \quad (2)$$

где

$$\omega_0^2 = 4\pi M_0^2 / (Dm_w), \quad (3)$$

$$f(q) = q + \frac{2}{b} \sum_{p=1}^{\infty} \frac{(-1)^p}{p^2} (1 - e^{-bp}) \sin(qp), \quad b = \frac{\pi h}{D}. \quad (4)$$

Используя соотношение

$$\sum_{p=1}^{\infty} \frac{(-1)^p}{p^2} (1 - e^{-bp}) \sin(qp) = - \int_0^b \operatorname{arctg} \frac{\sin q}{\cos q + e^a} da$$

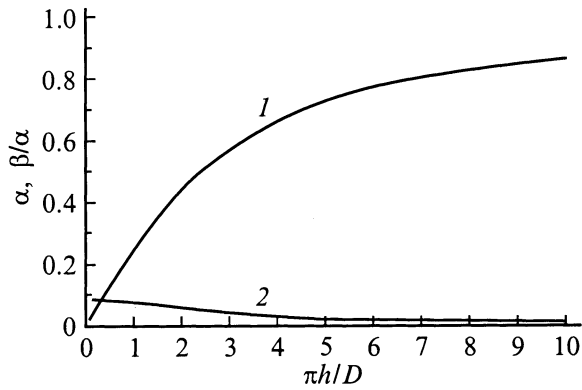
и представив интеграл в виде ряда по  $q$ , с точностью до слагаемых пятой степени получим

$$f(q) = \alpha q + \beta q^3 + \delta q^5, \quad (5)$$

где

$$\alpha = \frac{2}{b} \ln \operatorname{ch} \frac{b}{2}, \quad \beta = \frac{1}{12b} \operatorname{th}^2 \frac{b}{2},$$

$$\delta = \frac{1}{120b} \operatorname{th}^2 \frac{b}{2} \left( 1 - \frac{3}{4} \operatorname{th}^2 \frac{b}{2} \right).$$



Зависимости  $\alpha$  и  $\beta/\alpha$  (кривые 1 и 2 соответственно) от отношения толщины образца  $h$  к ширине домена  $D$ .

На рисунке приведены зависимости  $\alpha$  и  $\beta/\alpha$  от отношения  $\pi h/D$ . Поскольку  $\beta/\delta \sim 10-40$ , в (5) ограничимся первыми двумя слагаемыми. При  $\delta = 0$  уравнение (2) известно как уравнение Ферми–Паста–Улама [10]. Перейдя к непрерывной пространственной переменной  $x = nD$ , обозначив  $u = q_x$ , получим

$$u_{tt} = s^2 \partial_x^2 \left[ u + \frac{D^2}{12} u_{xx} + \frac{\beta D^2}{\alpha} u^3 \right], \quad (6)$$

$$s = \omega_0 D \sqrt{\alpha}. \quad (7)$$

Уравнение (6) является модифицированным уравнением Буссинеска. Соответствующее линейризованное уравнение ( $\beta = 0$ ) имеет волновое решение  $u = u_0 \cos(kx - \omega t)$  с законом дисперсии

$$\omega^2 = s^2 k^2 \left( 1 - \frac{D^2}{12} k^2 \right),$$

где  $k \ll 2\pi/D$ ,  $s$  — скорость линейных деформационных волн сдвига доменных границ.

Используя редуктивную теорию возмущений в виде [10]

$$\vartheta = \varepsilon(x \pm st), \quad \tau = \varepsilon^3 t, \quad u = \sum_{n=1}^{\infty} \varepsilon^n u^{(n)}(\vartheta, \tau), \quad (8)$$

получим модифицированное уравнение Кортевега-де Фриза (МКДФ)

$$\pm 2\partial_\tau u^{(1)} + r \partial_\vartheta^3 u^{(1)} + \rho \partial_\vartheta \left( u^{(1)} \right)^3 = 0,$$

где

$$r = \frac{sD^2}{12}, \quad \rho = \frac{sD^2\beta}{\alpha}.$$

Перейдя в соответствии с (8) от медленных переменных  $\vartheta, \tau$  к обычным переменным  $\zeta = x \pm st$  и  $t$ ,  $U \equiv \varepsilon u^{(1)}$  получим

$$\pm 2\partial_t U + r \partial_\zeta^3 U + \rho \partial_\zeta U^3 = 0. \quad (9)$$

В (8) малым параметром  $\varepsilon$  является величина  $(V_g - s)/s \ll 1$ , где  $V_g$  — скорость нелинейных деформационных волн. Это значит, что (8) и (9) применимы

в случае, когда скорость нелинейных волн близка к скорости линейных волн.

Уравнение (6) является уравнением второго порядка по времени и описывает волны, распространяющиеся в обоих направлениях вдоль координатной оси. Переменный знак в масштабных преобразованиях и соответственно в (9) появляется из-за того, что (9) является уравнением первого порядка по времени и описывает волну, распространяющуюся только в одном направлении. Поэтому выбор знака определяет направление распространения волны вдоль или против координатной оси.

Односолитонное решение МКДФ имеет вид [11]

$$U = \pm U_0 \operatorname{ch}^{-1} \left( \frac{\eta}{\Delta_1} \right),$$

$$q = \pm q_0 \operatorname{arctg} \left[ \operatorname{sh} \left( \frac{\eta}{\Delta_1} \right) \right], \quad (10)$$

$$U_0 = 2\sqrt{\frac{v}{\rho}}, \quad \Delta_1 = \sqrt{\frac{r}{2v}}, \quad q_0 = \sqrt{\frac{2r}{\rho}} = \sqrt{\frac{\alpha}{6\beta}}, \quad (11)$$

где  $\eta = x \pm (s + v)t$ ,  $v > 0$ . При этом каждому знаку в уравнении (9) могут соответствовать решения (10) с обоими знаками.

Скорость нелинейных деформационных волн продольного смещения доменных границ  $V_g$  больше скорости линейных волны  $s$ , т.е.  $V_g = s + v$ ,  $s \gg v$  (так как  $v > 0$ ). Проведем сравнение скорости нелинейной волны с уокеровской предельной скоростью доменной стенки  $V_w$  [9]

$$V_w = \frac{M_0}{\gamma m_w}.$$

Для отношения скоростей можно получить следующее выражение:

$$\frac{V_g}{V_w} \approx \frac{s}{V_w} = \sqrt{\frac{2\alpha D}{\Delta_0}}.$$

При обычных толщинах ЦМД пленки  $h \sim 8Q\Delta_0$  ( $Q = K_u/2\pi M_0^2$  — фактор качества) ширина домена  $D \sim 8Q\Delta_0$  [9]. Тогда  $V_g/V_w \sim 4\sqrt{\alpha Q}$ . При  $Q = 10-10^3$  имеем  $V_g/V_w \sim 10-10^2$ .

Переход от дискретной модели к непрерывной является справедливым, когда ширина солитона много больше толщины домена, т.е.

$$\frac{\Delta_1}{D} = \frac{1}{2\sqrt{6}} \sqrt{\frac{s}{v}} \gg 1.$$

Это условие выполняется по крайней мере при  $\Delta_1/D > 10$ , что накладывает дополнительное ограничение на скорость солитона:  $v/s < 4 \cdot 10^{-4}$ . Приведем максимальную величину относительной деформации домена в области локализации солитона, которая равна

$$\sigma = \frac{DU_0}{\pi} = \frac{2}{\pi} \sqrt{\frac{\alpha v}{\beta s}}.$$

При  $\alpha/\beta \sim 10^2$ ,  $v/s \sim 10^{-4}$  имеем  $\sigma < 0.1$ . При  $v = 100 \text{ cm/s}$ ,  $D \approx h = 0.01 \text{ cm}$ ,  $m_w = 3 \cdot 10^{-10} \text{ g/cm}^3$ ,

$M_0 = 100$  Gs величина относительной деформации  $\sigma \approx 0.03$ .

Двухпараметрическое решение уравнения (9) имеет вид [12]

$$U = 2\sqrt{\frac{2r}{\rho}} \frac{\partial}{\partial \xi} \arctg \left\{ \frac{\sin(k_0 \xi \pm \Omega t)}{\Delta_2 k_0 \operatorname{ch}(\xi/\Delta_2)} \right\}, \quad (12)$$

$$k_0 = \frac{1}{\Delta_2} \sqrt{\frac{2v_1 \Delta_2^2 + r}{3r}}, \quad \Omega = \frac{2}{3} \left( v_1 + \frac{2r}{\Delta_2^2} \right) k_0, \quad (13)$$

где  $\xi = x \pm (s - v_1)t$ . В качестве независимых параметров можно выбрать скорость солитона  $v_1$  относительно скорости линейной волны  $s$  и характерный размер  $\Delta_2$  локализованного возбуждения. Из (13) видно, что область существования солитона в зависимости от параметров  $v_1$  и  $\Delta_2$  определяется неравенством

$$v_1 \Delta_2^2 > -r/2. \quad (14)$$

В случае выполнения условия (14)  $k_0$  в (13) является вещественной величиной. Проанализируем два предельных случая выражения (12) [12]. В первом амплитуда мала, т.е.  $\Delta_2 k_0 \gg 1$ . Решение (12) представляет собой малоамплитудную слаболокализованную волну. Во втором предельно нелинейном случае  $k_0 \Delta_2 \ll 1$ . В этом случае решение (12) представляет собой бризер — систему двух однопараметрических солитонов с противоположными знаками, совершающих колебания с частотой  $\Omega$  около движущегося со скоростью  $s - v_1$  общего центра тяжести. Максимальное расстояние, на которое могут удалиться два однопараметрических солитона, равно

$$\Delta = 2\Delta_2 \ln \frac{2}{k_0 \Delta_2}. \quad (15)$$

В отличие от (11), где  $v$  строго больше нуля, в бризерном решении (12) величина  $v_1$  может быть и отрицательной (см. (14)). Пусть скорость  $v_1$  близка к критической (она соответствует равенству в (14)):  $v_1 = -r(1 - \mu)/(2\Delta_2^2)$ ,  $0 < \mu \ll 1$ . Тогда  $k_0 \Delta_2 = \sqrt{\mu/3} \ll 1$ ,  $\Omega \approx 2|v_1|k_0$ , и (15) можно переписать в виде  $\Delta = \Delta_2 \ln(12/\mu)$ . При  $\mu \approx 0.05$  величина  $\Delta \approx 5\Delta_2$ .

В случае, если между  $v_1$  и  $\Delta_2$  существует связь, близкая к связи между  $v$  и  $\Delta_1$  для односолитонного решения (11)  $\Delta_2 = \sqrt{r/v_1}$ ,

$$k_0 = 1/\Delta_2, \quad \Omega = 2v_1 k_0, \quad (16)$$

и двухпараметрическое решение (12) выглядит наиболее просто

$$U = 2\sqrt{\frac{2r}{\rho}} \frac{\partial}{\partial \zeta} \arctg \left\{ \frac{\sin[\sqrt{v_1/r}(\zeta \pm v_1 t)]}{\operatorname{ch}[\sqrt{v_1/r}(\zeta \mp v_1 t)]} \right\}.$$

Из (16) видно, что волновое число  $k_0$  обратно пропорционально ширине  $\Delta_2$ , а частота  $\Omega$  прямо пропорциональна скорости  $v_1$  и волновому числу  $k_0$ .

Выше указывалось, что расчеты проведены, пренебрегая взаимодействием между дальними соседями. Вследствие этого, как показывает сравнение (2) с уравнениями линейной теории волн в цепочке плоскопараллельных доменных границ [4,5], полученные результаты при  $b \geq 1$  носят качественный характер, а при  $b \ll 1$  (когда ширина домена  $D$  много больше толщины пластины  $h$ ) — количественный характер. Доменная структура, в которой ширина домена  $D$  много больше толщины пластины  $h$ , действительно может существовать как в ферромагнетиках (см., например, [13]), так и в редкоземельных ортоферритах.

Таким образом, в цепочке плоскопараллельных доменных границ при определенных условиях могут существовать нелинейные волны деформаций доменных границ аналогичные солитонам в ангармонической цепочке атомов. Физически такая волна представляет собой локализованную волну сгущения или разряжения, т.е. продольной деформации цепочки доменных границ с возможными внутренними степенями свободы. Скорость деформационных солитонов сдвига доменных границ на порядок или более превосходит уокеровскую предельную скорость, что может представлять определенный практический интерес. Возбудить подобные нелинейные волны деформаций, как и в случае линейных волн деформаций, соответствующих акустической ветви [14], можно с помощью пространственно-неоднородных в плоскости пластины импульсного или высокочастотного магнитного поля.

Авторы выражают благодарность Б.Н. Филиппову за ценные замечания.

## Список литературы

- [1] М.М. Фарзтдинов. Теория спиновых волн в ферро- и антиферромагнетиках с доменной структурой. Наука, М. (1988). 240 с.
- [2] В.Г. Барьяхтар, Б.А. Иванов. ФММ **36**, 4, 690 (1973).
- [3] Ю.И. Горобец. УФЖ **19**, 6, 1025 (1974).
- [4] Л.Э. Гуревич, Э.В. Ливерц. ЖЭТФ **82**, 1, 220 (1982).
- [5] Е.С. Денисова. ФТТ **42**, 3, 503 (2000).
- [6] Ч. Киттель. Введение в физику твердого тела. Наука, М. (1978). 792 с.
- [7] Б.Н. Филиппов, М.М. Соловьев. ФММ **80**, 2, 20 (1995).
- [8] С. Кооу, V. Enz. Philips Res. Reports **15**, 7 (1960).
- [9] А. Малоземов, Дж. Слозуски. Доменные стенки в материалах с цилиндрическими магнитными доменами. Мир, М. (1982). 384 с.
- [10] Р. Додд, Дж. Эйлбек, Дж. Гиббон, Х. Моррис. Солитоны и нелинейные волновые уравнения. Мир, М. (1988). 696 с.
- [11] Дж.Л. Лэм. Введение в теорию солитонов. Мир, М. (1983). 294 с.
- [12] А.М. Косевич, А.С. Ковалев. Введение в нелинейную физическую механику. Наук. думка, Киев (1989). 304 с.
- [13] A. Hubert, R. Schäfer. Magnetic Domains: the Analysis of Magnetic Microstructures. Springer, Berlin (1998). 704 p.
- [14] Элементы и устройства на цилиндрических магнитных доменах: Справочник. Радио и связь, М. (1987). 488 с.